

Toda

孙天阳

目录

目录	3
1 预备知识	4
1 自同构群	4
1.1 \mathbb{C} 的全纯自同构群	4
1.2 \mathbb{CP}^1 的全纯自同构群	4
1.3 \mathbb{C}^n 的全纯自同构群	4
1.4 \mathbb{CP}^n 的全纯自同构群	4
1.5 \mathbb{R}^n 的等距群	4
1.6 S^n	5
1.7 \mathbb{H}^n	5
2 典型群	6
2.1 正交群	6
2.2 特殊正交群	6
2.3 酉群	6
2.4 特殊酉群	6
2.5 Mobius 变换群及其子群	6
2.6 射影线性群	6
3 黎曼球面	7
3.1 \mathbb{R}^3 中的单位球面	7
3.2 复平面的单点紧化	7
3.3 射影直线	7
4 全纯函数与共形映射	8
4.1 全纯函数	8
4.2 共形映射	8
5 Monodromy representation	10
2 Toda 系统的历史	11
1 1 维 Toda 方程的哈密顿描述	11
2 1 维 Toda 方程的李代数描述	12
3 2 维 Toda 方程	12

3	Nevanlinna 理论	13
1	Jensen 公式	13
2	Poisson-Jenson 公式	16
3	Nevanlinna 第一基本定理	17
4	Nevanlinna 第二基本定理	18
5	Holomorphic curves and metrics of negative curvature	19
5.1	积分公式	19
6	Kodaira	20
6.1	紧黎曼曲面上的度量	20
6.2	积分公式	21
6.3	到亏格 ≥ 2 的紧黎曼曲面的全纯映射	22
6.4	到黎曼球的全纯映射	23
6.5	亏量关系	25
7	Schwarz-Kobayashi 引理	26
4	Multi-Valued Toda Map	27
1	Local existence of Toda map	27
2	Multi-Valued Toda map	29
3	Monodromy representation	30
5	度量与曲率	33
1	共形度量	33
2	去心圆盘上的度量	34
3	黎曼球上常 Gauss 曲率度量与 Liouville 方程的解	35
4	常曲率度量的展开映射	36
5	锥奇点	37
6	Chou-Wan 论文	38
7	面积有限条件下去心圆盘上常正曲率度量的局部模型	39
8	面积有限条件下去心复平面上常正曲率度量的局部模型	40
9	11 月 20 日学长报告	41
10	Fuchsian 方程	42
11	李柏的本科毕业论文	43
6	Open $\mathfrak{su}(n+1)$-Toda 方程与全纯曲线	44
1	Fubini-Study 度量	44
2	title	45
3	到复射影空间的全纯映射的提升	47
4	伴随曲线	48
5	全纯曲线 \rightarrow 解	50
6	解 \rightarrow 全纯曲线	51
7	解 \rightarrow 全纯曲线, $n = 1$	52
8	解 \rightarrow 全纯曲线 \rightarrow 解	53

目录	3
9 全纯曲线 \rightarrow 解 \rightarrow 全纯曲线	54
7 Plücker 公式	55
1 Fubini-Study 度量	55
2 分歧	56
8 Cartan' s Method of Moving Frames	57
1 Maurer-Cartan form	57
2 $E(n)$	58
9 春晖论文	59
0.1	60
10 各次报告	61
1 12 月 11 日陆斯成报告	61

Chapter 1

预备知识

1 自同构群

1.1 \mathbb{C} 的全纯自同构群

所有的一次多项式, 参考刘太顺 195 页

1.2 \mathbb{CP}^1 的全纯自同构群

所有的分式线性变换, 参考刘太顺 195 页

1.3 \mathbb{C}^n 的全纯自同构群

1.4 \mathbb{CP}^n 的全纯自同构群

1.5 \mathbb{R}^n 的等距群

Proposition 1.1. $Iso(\mathbb{R}^n) \cong T(n) \rtimes O(n)$.

证明. 假设 $f \in Iso(\mathbb{R}^n)$ 满足 $f(0) = 0$, 否则考虑 $\tilde{f} = f - f(0)$.

(1) f 保持内积. 因为 f 保持距离, 所以对任意 $x, y \in \mathbb{R}^n$, 有

$$\|f(x) - f(y)\|^2 = \|x - y\|^2 \implies \langle f(x), f(y) \rangle = \langle x, y \rangle.$$

(2) f 是线性的.

- $\|f(ax) - af(x)\|^2 = \|f(ax)\|^2 + \|af(x)\|^2 - 2\langle f(ax), af(x) \rangle = \|ax\|^2 + \|ax\|^2 - 2\|ax\|^2 = 0.$
- $\|f(x+y) - f(x) - f(y)\|^2 \xrightarrow{\text{展开}} \dots \xrightarrow{\text{脱 } f} \dots \xrightarrow{\text{合并}} \|x+y-x-y\|^2 = 0.$

(3) $f \in O(n)$.

□

Remark. 证明了稍稍强一点的事: 等距 \implies 双射.

1.6 \mathbb{S}^n **Proposition 1.2.** $\text{Iso}(\mathbb{S}^n) \cong \text{O}(n+1)$.证明. <https://math.stackexchange.com/questions/130193/isometries-of-mathbb{S}^n>

□

1.7 \mathbb{H}^n

2 典型群

2.1 正交群

2.2 特殊正交群

$SO(2)$

Proposition 2.1. $\mathbb{S}^1 \cong \mathbb{R}/\mathbb{Z} \cong U(1) \cong SO(2)$

SO_3

Proposition 2.2. $SO(3) \cong \mathbb{RP}^3$

证明一.

□

证明二.

□

2.3 酉群

2.4 特殊酉群

$SU(2)$

Proposition 2.3. $SU(2) \cong \mathbb{S}^3$

证明.

□

Proposition 2.4.

$$\begin{array}{ccc} SU(2) & \longrightarrow & SO(3) \\ \downarrow & & \uparrow \\ \mathbb{S}^3 & \longrightarrow & \mathbb{RP}^3 \end{array}$$

因此 $SU(2)$ 是 $SO(3)$ 的二重覆盖.

2.5 Mobius 变换群及其子群

2.6 射影线性群

3 黎曼球面

考虑球 $x^2 + y^2 + z^2 = 1$ 从点 $(0, 0, 1)$ 到平面 $z = 0$ 的球极投影

$$\begin{aligned} \iota: \mathbb{R}^2 &\longrightarrow \mathbb{S}^2(1) \hookrightarrow \mathbb{R}^3 \\ (X, Y) &\longmapsto \left(\frac{2X}{X^2 + Y^2 + 1}, \frac{2Y}{X^2 + Y^2 + 1}, \frac{X^2 + Y^2 - 1}{X^2 + Y^2 + 1} \right) \end{aligned}$$

考虑 \mathbb{R}^3 上的标准度量 $g = dx \otimes dx + dy \otimes dy + dz \otimes dz$, 计算 ι^*g .

$$\begin{aligned} \iota_* \frac{\partial}{\partial X} &= \frac{1}{(1 + X^2 + Y^2)^2} (-2X^2 + 2Y^2 + 2, -4XY, 4X) \\ \iota_* \frac{\partial}{\partial Y} &= \frac{1}{(1 + X^2 + Y^2)^2} (-4XY, 2X^2 - 2Y^2 + 2, 4Y) \\ \iota^* dx &= \frac{1}{(1 + X^2 + Y^2)^2} ((-2X^2 + 2Y^2 + 2)dX - 4XYdY) \\ \iota^* dy &= \frac{1}{(1 + X^2 + Y^2)^2} (-4XYdX + (2X^2 - 2Y^2 + 2)dY) \\ \iota^* dz &= \frac{1}{(1 + X^2 + Y^2)^2} (4XdX + 4YdY) \\ \iota^* g &= \frac{4}{(1 + X^2 + Y^2)^2} (dX \otimes dX + dY \otimes dY) \end{aligned}$$

3.1 \mathbb{R}^3 中的单位球面

3.2 复平面的单点紧化

3.3 射影直线

在仿射图册中计算 FS 度量

4 全纯函数与共形映射

设 $A: \mathbb{R}^2 \rightarrow \mathbb{R}^2$ 是 \mathbb{R} -线性映射, 选定基后, 它有矩阵表示

$$\begin{pmatrix} u \\ v \end{pmatrix} = \begin{pmatrix} a & b \\ c & d \end{pmatrix} \begin{pmatrix} x \\ y \end{pmatrix}.$$

4.1 全纯函数

线性代数

设 $A: (\mathbb{C}, z = x + iy) \rightarrow (\mathbb{C}, w = u + iv)$ 是 \mathbb{C} -线性映射, 则 $A(iz) = iAz = iw$, 即

$$\begin{pmatrix} -v \\ u \end{pmatrix} = \begin{pmatrix} a & b \\ c & d \end{pmatrix} \begin{pmatrix} -y \\ x \end{pmatrix} \iff \begin{pmatrix} u \\ v \end{pmatrix} = \begin{pmatrix} 0 & 1 \\ -1 & 0 \end{pmatrix} \begin{pmatrix} a & b \\ c & d \end{pmatrix} \begin{pmatrix} 0 & -1 \\ 1 & 0 \end{pmatrix} \begin{pmatrix} x \\ y \end{pmatrix}.$$

这就迫使

$$\begin{pmatrix} a & b \\ c & d \end{pmatrix} = \begin{pmatrix} 0 & 1 \\ -1 & 0 \end{pmatrix} \begin{pmatrix} a & b \\ c & d \end{pmatrix} \begin{pmatrix} 0 & -1 \\ 1 & 0 \end{pmatrix} = \begin{pmatrix} d & -c \\ -b & a \end{pmatrix} \iff \begin{cases} a = d \\ b = -c \end{cases}.$$

此时

$$w = \begin{pmatrix} u \\ v \end{pmatrix} = \begin{pmatrix} a & b \\ -b & a \end{pmatrix} \begin{pmatrix} x \\ y \end{pmatrix} = \sqrt{a^2 + b^2} \begin{pmatrix} \cos \theta & -\sin \theta \\ \sin \theta & \cos \theta \end{pmatrix} \begin{pmatrix} x \\ y \end{pmatrix} = \sqrt{a^2 + b^2} e^{i\theta} z.$$

切映射

考虑 $f: \mathbb{R}^2 \rightarrow \mathbb{R}^2$. 它在某点 $p = (x_0, y_0)$ 处的切映射为 $f_{*,p}: T_p \mathbb{R}^2 \rightarrow T_{f(p)} \mathbb{R}^2$. 取 $T_p \mathbb{R}^2$ 的基为 $\left\{ \frac{\partial}{\partial x} \Big|_p, \frac{\partial}{\partial y} \Big|_p \right\}$, 取 $T_{f(p)} \mathbb{R}^2$ 的基为 $\left\{ \frac{\partial}{\partial u} \Big|_{f(p)}, \frac{\partial}{\partial v} \Big|_{f(p)} \right\}$. 则 $f_{*,p}$ 在这组基下的矩阵表示为

$$\begin{pmatrix} \frac{\partial u \circ f}{\partial x} & \frac{\partial u \circ f}{\partial y} \\ \frac{\partial v \circ f}{\partial x} & \frac{\partial v \circ f}{\partial y} \end{pmatrix} (p) =: \begin{pmatrix} u_x & u_y \\ v_x & v_y \end{pmatrix} (p).$$

$f_{*,p}$ 是 \mathbb{C} -线性映射当且仅当

$$\begin{cases} u_x(p) = v_y(p) \\ u_y(p) = -v_x(p) \end{cases}.$$

4.2 共形映射

参考资料:

- Angle preserving linear transformations

线性代数

Proposition 4.1. 设 $A: \mathbb{R}^2 \rightarrow \mathbb{R}^2$ 是线性映射, 则如下三条等价:

- (1) L 保持两个非零向量之间的夹角.
- (2) 存在 $\lambda > 0$ 使得 $\langle Av, Aw \rangle = \lambda^2 \langle v, w \rangle$
- (3) 存在 $\lambda > 0$ 使得 $\|Av\| = \lambda\|v\|$.

切映射

做了上面这些铺垫后, 我们容易看出, 保定向的共形映射等价于导数恒不为零的全纯函数.

5 Monodromy representation

Let Σ be a Riemann surface, $\mathbf{f}: \Sigma \rightarrow \mathbb{CP}^1$ be a multi-valued holomorphic map.

Chapter 2

Toda 系统的历史

1 1 维 Toda 方程的哈密顿描述

Toda 方程起源于 Morikazu Toda[?][?] 对弹簧振子的研究. 考虑 n 个相同的质量为 m 的质点, 串在水平的光滑杆上, 相邻的两个质点被弹簧连接, 所有弹簧均相同. 假设 y_p 表示第 p 个质点相较于平衡态的水平位移, 那么根据牛顿运动方程有

$$m \frac{d^2 y_p}{dt^2} = f(y_{p+1} - y_p) - f(y_p - y_{p-1}), \quad (2.1)$$

其中 $f: \mathbb{R} \rightarrow \mathbb{R}$ 描述弹簧在形变下提供的力. 经典情形中, $f(r) = kr$, k 是 Hooke 常数. $f(r)$ 是 r 的非线性函数的情形最初是由 Fermi-Pasta-Ulam 在 20 世纪 50 年代通过数值的方式研究的. 1967 年由 Toda 进一步发展, 他考虑了 $f(r) = ae^{\lambda r}$. 这是非线性完全可积系统的最早的例子.

我们仅考虑以下两类模型:

- (a) 有限或开的情形, 有 $n+2$ 个质点, 编号 $0, \dots, n+1$, 其中第 0 个和 $n+1$ 个固定.
- (b) 周期或仿射的情形, 有 $n+1$ 个质点, 排列在圆上, 相当于 $y_0 = y_{n+1}$. %beginfigure[h]

2 1 维 Toda 方程的李代数描述

上一小节中的想法在上世纪 70 年代后期被 Adler[?], Kostant[?] 和 Symes[?] 发展, 他们给出了 Toda 方程的李代数描述. 有关李代数的基础知识, 可参考 [?].

给定单李代数 \mathfrak{g} , 秩为 l , 设 $\{K_{ij}\}$ 是 \mathfrak{g} 的 Cartan 矩阵, $\{\hat{K}_{ij}\}$ 是 \mathfrak{g} 的增广 Cartan 矩阵, 我们分别有开 \mathfrak{g} -Toda 方程

$$\frac{d^2 \rho_i}{dt^2} + \sum_{j=1}^l K_{ij} e^{\rho_j} = 0, \quad i = 1, \dots, l$$

和仿射 \mathfrak{g} -Toda 方程

$$\frac{d^2 \rho_i}{dt^2} + \sum_{j=0}^l \hat{K}_{ij} e^{\rho_j} = 0, \quad i = 0, \dots, l$$

且

$$m_0 \rho_0 + \dots + m_l \rho_l = 0.$$

可验证质点在指数相互作用下导出的运动方程就是开的和仿射 $\mathfrak{su}(n+1)$ -Toda 方程.

3 2 维 Toda 方程

我们可将上述 Toda 方程推广到 2 维, 其中 $\frac{d^2}{dt^2}$ 被替换为拉普拉斯算子

$$\Delta = \frac{\partial^2}{\partial x^2} + \frac{\partial^2}{\partial y^2}.$$

出于某些几何上的考虑, 我们有时也用复坐标 $z = x + iy$, 此时 $\Delta = 4 \frac{\partial^2}{\partial z \partial \bar{z}}$.

给定单李代数 \mathfrak{g} , 2 维 Toda 方程的两种形式为

$$\Delta \rho_i + \sum_{j=1}^l K_{ij} e^{\rho_j} = 0, \quad i = 1, \dots, l, \quad (2.2)$$

和

$$\Delta \rho_i + \sum_{j=0}^l \hat{K}_{ij} e^{\rho_j} = 0, \quad i = 0, \dots, l. \quad (2.3)$$

在 $\mathfrak{g} = \mathfrak{su}(2)$ 的情形我们分别得到 Liouville 方程

$$\Delta \rho + 2e^\rho = 0$$

和 sinh-Gordon 方程

$$\Delta \rho + 2 \sinh \rho = 0.$$

注意到, 对任意的 $\lambda > 0$, 如果 $\{\rho_i\}$ 是 (2.2) 的解, 那么 $\{\rho_i + \log \lambda\}$ 是

$$\lambda \Delta \rho_i + \sum_{j=1}^l K_{ij} e^{\rho_j} = 0, \quad i = 1, \dots, l \quad (2.4)$$

的解. 因此我们常常根据需要修改 $\Delta \rho_i$ 前的系数 λ .

Chapter 3

Nevanlinna 理论

1 Jensen 公式

Theorem 1.1 (Jensen 公式). 设

- (1) $\Omega \supset \overline{B(0, R)}$, f 在 Ω 全纯, $f(0) \neq 0$, f 在 $\{|z| = R\}$ 上无零点;
- (2) f 在 $B(0, R)$ 内有零点 z_1, z_2, \dots, z_N , 计入重数.

则

$$\log |f(0)| = \sum_{k=1}^N \log \frac{|z_k|}{R} + \frac{1}{2\pi} \int_0^{2\pi} \log |f(Re^{i\theta})| d\theta.$$

证一.

- (1) 观察到若定理对 f_1, f_2 成立, 则对 $f_1 f_2$ 也成立.
- (2) 令 $g(z) = \frac{f(z)}{(z - z_1)(z - z_2) \cdots (z - z_N)}$, 则 g 在 $\overline{B(0, R)}$ 上无零点, 全纯.
由 (1) 只需要对 $g(z)$ 和 $z - z_i$ 证明结论成立即可.
- (3) 故 $\log ||$
- (4) 固定 $|w| < R$, 考虑 $h(z) = z - w$, 只要证

$$\begin{aligned} \log |w| &= \log \frac{|w|}{R} + \frac{1}{2\pi} \int_0^{2\pi} \log |Re^{i\theta} - w| d\theta \\ &\iff \frac{1}{2\pi} \int_0^{2\pi} (\log |Re^{i\theta} - w| - \log R) d\theta = 0 \\ &\iff \frac{1}{2\pi} \int_0^{2\pi} \log |e^{i\theta} - \frac{w}{R}| d\theta = 0 \end{aligned}$$

令 $a = \frac{w}{R}$, 则即证对于 $|a| < 1$, 有

$$\int_0^{2\pi} \log |e^{i\theta} - a| d\theta = 0$$

$$\begin{aligned} \int_0^{2\pi} \log |1 - ae^{-i\theta}| d\theta &= 0 \\ \theta = -\theta, \int_0^{-2\pi} \log |1 - ae^{i\theta}| d\theta \\ \theta \rightarrow \theta + 2\pi, \int_0^{2\pi} \log |1 - ae^{i\theta}| d\theta &= 0 \end{aligned}$$

令 $F(z) = 1 - az$, 它是全纯函数, 且在 $\overline{B(0,1)}$ 上无零点. 用上一条,

$$\begin{aligned} \log |F(0)| &= \frac{1}{2\pi} \int_0^{2\pi} \log |F(e^{i\theta})| d\theta \\ 0 &= \frac{1}{2\pi} \int_0^{2\pi} \log |1 - ae^{i\theta}| d\theta \end{aligned}$$

□

证二. 设 $a \in \mathbb{D}$, 定义 $\varphi_a(z) = \frac{z-a}{1-\bar{a}z}$

令 $g(z) = \frac{f(z)}{\prod_{j=1}^N \varphi_{\frac{z_j}{R}}\left(\frac{z}{R}\right)}$, 则 $g(z)$ 在 $\overline{B(0,R)}$ 上没有零点, 且在 Ω' 上是全纯函数, 代入

$$\begin{aligned} \log |g(0)| &= \frac{1}{2\pi} \int_0^{2\pi} \log |g(Re^{i\theta})| \\ \log \frac{|f(0)|}{\prod_{j=1}^N \left|\frac{z_j}{R}\right|} &= \frac{1}{2\pi} \int_0^{2\pi} \log \frac{|f(Re^{i\theta})|}{\prod_{j=1}^N |\varphi_{\frac{z_j}{R}}(e^{i\theta})|} d\theta \\ \log |f(0)| &= \sum_{j=1}^N \log \left|\frac{z_j}{R}\right| + \frac{1}{2\pi} \int_0^{2\pi} \log |f(Re^{i\theta})| d\theta \end{aligned}$$

□

Remark.

(1) $f(0) = 0$ 不本质, 可除掉 z^m .

(2) 若 $|a| = 1$, 设 $a = e^{i\alpha}$, 则

$$\begin{aligned} \int_0^{2\pi} \log |1 - e^{i(\alpha+\theta)}| d\theta &= 0 \\ \int_0^{2\pi} \log |1 - e^{i\theta}| d\theta &= 0 \end{aligned}$$

令 $z = e^{i\theta}$, 则 $dz = izd\theta$.

$$\operatorname{Re} \int_{|z|=1} \log(1-z) \frac{dz}{iz} = 0$$

当 $\operatorname{Re} z < 1$ 时, $\log(1-z)$ 有全纯单值分支, $\gamma_\varepsilon, \gamma_1$, 令 $\gamma = \gamma_1 \cup \gamma_\varepsilon$

$$\int_\gamma \frac{\log(1-z)}{iz} dz = 0.$$

$$\lim_{\varepsilon \rightarrow -} \int_{\gamma_1} \frac{\log(1-z)}{iz} dz = - \lim_{\varepsilon} \int_{\gamma_1} \frac{\log(1-z)}{iz} dz$$

$$\text{令 } \gamma_\varepsilon : z = 1 + \varepsilon e^{i\theta}, \theta : \frac{3}{2}\pi \rightarrow \frac{\pi}{2}$$

$$\left| \int_{\gamma_\varepsilon} \frac{\log(1-z)}{iz} dz \right| \leq \left| \int_{\frac{\pi}{2}}^{\frac{3\pi}{2}} \frac{\log(-\varepsilon e^{i\theta})}{i(1+\varepsilon e^{i\theta})} \varepsilon i e^{i\theta} d\theta \right| \leq C\varepsilon(|\log \varepsilon| + C) \rightarrow 0$$

因此 f 在 $\{|z|=R\}$ 无零点这个条件也可以去掉.

Definition 1.2. $n(r)$: 全纯函数 $f(z)$ 在 $B(0, r)$ 中的零点个数, 计入重数.

Lemma 1.3.

$$\int_0^R n(r) \frac{dr}{r} = \sum_{k=1}^N \log \frac{R}{|z_k|}.$$

证明. 只需注意到 $n(r)$ 是关于 r 的阶梯函数. 定义

$$\eta_k(r) = \begin{cases} 1 & r > |z_k|, \\ 0 & r \leq |z_k|. \end{cases}$$

则

$$\int_{|z_k|}^R \frac{dr}{r} = \int_0^R \eta_k(r) \frac{dr}{r},$$

两侧对 k 求和即得所证. □

Corollary 1.4. 在 *Jensen* 定理的条件下, 我们有

$$\log |f(0)| = - \int_0^R n(r) \frac{dr}{r} + \frac{1}{2\pi} \int_0^{2\pi} \log |f(Re^{i\theta})| d\theta$$

2 Poisson-Jenson 公式

3 Nevanlinna 第一基本定理

4 Nevanlinna 第二基本定理

5 Holomorphic curves and metrics of negative curvature

5.1 积分公式

基本积分公式

记 $\Delta_s = \{\zeta \in \mathbb{C}: |\zeta| < s\}$. 设其上的函数 $h(\zeta)$ 满足

- 存在某点 $\zeta_0 \in \Delta_s, h(\zeta)$ 形如

$$h(\zeta) = |\zeta - \zeta_0|^{2\mu} (\log |\zeta - \zeta_0|)^{2\nu} h_0(\zeta),$$

其中 $h_0(\zeta)$ 是光滑的且恒正.

•

Proposition 5.1.

$$\frac{1}{4\pi} \int_{|\zeta|=r} \log h \cdot d\theta + N(D, r) = N(R, r) + \int_0^r \left(\int_{\Delta_\rho} dd^c \log h \right) \frac{d\rho}{\rho} + \frac{1}{2} \log h(0), \quad \forall r < s.$$

去心圆盘的一个变式

Jensen 公式

给定整函数 $f(\zeta)$, 圆盘 $|\zeta| < r$ 中方程 $f(\zeta) = a$ 解的个数 $n(r, a)$ 可由 Cauchy 积分公式给出

$$n(r, a) = \frac{1}{2\pi i} \int_{|\zeta|=r} \frac{f'(\zeta) d\zeta}{f(\zeta) - a} = \frac{1}{2\pi i} \int_{|\zeta|=r} \partial \log [f(\zeta) - a].$$

上式已经假定了在圆周 $|\zeta| = r$ 上方程 $f(\zeta) = a$ 无解. 其中 \log 应理解为全局解析函数, 因为不同分支之间相差的常数在 ∂ 下被消掉, 所以不必声明分支的选择.

下面是我看不懂的地方:

对上式两端取共轭得

$$n(r, a) = -\frac{1}{2\pi i} \int_{|\zeta|=r} \overline{\partial \log [f - a]}.$$

结合两式有

$$\begin{aligned} n(r, a) &= \frac{1}{4\pi i} \int_{|\zeta|=r} \partial \log [f - a] - \overline{\partial \log [f - a]} \\ &\stackrel{?}{=} \frac{1}{4\pi i} \int_{|\zeta|=r} \partial \log |f - a|^2 - \bar{\partial} \log |f - a|^2 \end{aligned}$$

主要是不懂 $\overline{\partial \log [f - a]}$ 是什么、怎么算.

6 Kodaira

6.0 汇总

- $n_1(r)$ 是 ξ 的零点的重数.

$$- N_1(r) = \int_0^r n_1(t) \frac{dt}{2\pi t}$$

- $B(r)$

$$- Q(r) = \int_0^r B(r) \frac{dt}{2\pi t}$$

- $A(r)$

$$- T(r) = \int_0^r A(t) \frac{dt}{2\pi t}$$

- $m(r, a)$

- $n(r, a)$

$$- N(r, a) = \int_0^r n(t, a) \frac{dt}{2\pi t}$$

- $M(r) = \frac{1}{2\pi} \int_0^{2\pi} \frac{1}{4\pi} \log \xi(re^{i\theta}) d\theta$

- $m(r, a) = \frac{1}{2\pi} \int_0^{2\pi} u_a(re^{i\theta}) d\theta$

关系式

- $f^*\omega = dd^\perp u_a$

- $-\frac{R}{2} f^*\omega = \frac{\sqrt{-1}}{2\pi} \partial\bar{\partial} \log \xi$

- $\frac{\sqrt{-1}}{2\pi} \partial\bar{\partial} \log a_j(w) = -\frac{R(w)}{2} \omega$

相差常数的算子

- $dz \wedge d\bar{z} = -2i dx \wedge dy$

- $dd^\perp = 2\sqrt{-1} \partial\bar{\partial}$.

6.1 紧黎曼曲面上的度量

设 W 是一个紧黎曼曲面, $\{(U_j, w_j)\}$ 是其上的一个坐标图册.

Definition 6.1. W 上的一个 *Kahler* 度量 ds^2 是指

$$ds^2 = a_j(w) |dw_j|^2.$$

其中 $a_j(w)$ 是 U_j 上的光滑函数

6.2 积分公式

6.3 到亏格 ≥ 2 的紧黎曼曲面的全纯映射

6.4 到黎曼球的全纯映射

考虑全纯映射 $f: \Delta_{r_\infty} \rightarrow \mathbb{P}^1$. 取 \mathbb{P}^1 上典范的 Kahler 形式

$$\omega = \frac{\sqrt{-1}}{2\pi} \frac{dw \wedge d\bar{w}}{(1+|w|^2)^2}.$$

Definition 6.2. $u_a(z) = \frac{1}{4\pi} \log \frac{(1+|f(z)|^2)(1+|a|^2)}{|f(z)-a|^2} = \frac{1}{4\pi} \log \frac{1}{d^2(f(z), a)}.$

Proposition 6.3. $dd^\perp u_a(z) = f^* \omega.$

证明. $dd^\perp u_a(z) = 2\sqrt{-1}\partial\bar{\partial}u_a(z) = \frac{\sqrt{-1}}{2\pi}\partial\bar{\partial}\log(1+|f(z)|^2).$

上式是因为 $\partial\bar{\partial}\log(1+|a|^2) = 0$ 且 $\partial\bar{\partial}\log|f(z)-a|^2 = \partial\bar{\partial}(\log(f(z)-a) + \log\overline{f(z)-a}) = 0.$

继续计算 $\bar{\partial}\log(1+|f(z)|^2) = \frac{f\frac{\partial\bar{f}}{\partial\bar{z}}}{1+|f(z)|^2}d\bar{z} = \frac{f\bar{f}'}{1+|f(z)|^2}d\bar{z}.$

$$\partial\left(\frac{f\bar{f}'}{1+|f(z)|^2}d\bar{z}\right) = \frac{f'\bar{f}'(1+|f(z)|^2) - f\bar{f}'f'f}{(1+|f(z)|^2)^2}dz \wedge d\bar{z} = \frac{|f'(z)|^2}{(1+|f(z)|^2)^2}dz \wedge d\bar{z}.$$

$$\text{所以 } dd^\perp u_a(z) = \frac{\sqrt{-1}}{2\pi} \frac{|f'(z)|^2}{(1+|f(z)|^2)^2}dz \wedge d\bar{z} = f^*\left(\frac{\sqrt{-1}}{2} \frac{dw \wedge d\bar{w}}{(1+|w|^2)^2}\right) = f^* \omega. \quad \square$$

Definition 6.4. 记

$$A(r) = \int_{\Delta_r} f^* \omega$$

$$T(r) = \int_0^r A(t) \frac{dt}{2\pi t}$$

$$m(r, a) = \frac{1}{2\pi} \int_0^{2\pi} u_a(re^{i\theta}) d\theta$$

$n(r, a) =$ 计重数意义下 $f(z) - a$ 在 Δ_r 中零点的个数

$$N(r, a) = \int_0^r n(t, a) \frac{dt}{2\pi t}$$

Theorem 6.5. 如果 $f(0) \neq 0$, 那么

$$N(r, a) + m(r, a) = T(r) + m(0, a).$$

证明.

$$\begin{aligned} A(r) &= \int_{\Delta_r} f^* \omega = \int_{\Delta_r} dd^\perp u_a \stackrel{\text{Stokes}}{=} \int_{\partial\Delta_r} d^\perp u_a - \sum_{\zeta_h(a) \in \Delta_r} \oint_{\zeta_h(a)} d^\perp u_a \\ \int_{\partial\Delta_r} d^\perp u_a &= \int_{\partial\Delta_r} \frac{\partial u_a}{\partial \nu} ds = \int_0^{2\pi} \frac{\partial}{\partial r} u_a(re^{i\theta}) r d\theta = 2\pi r \frac{d}{dr} m(r, a) \\ &= \\ A(r) &= 2\pi r \frac{d}{dr} m(r, a) - n(r, a) \implies T(r) = m(r, a) - m(0, a) + N(r, a) \end{aligned}$$

\square

Remark. 因为 $A(t)$ 关于 t 单调递增,

$$T(r) = \int_0^r A(t) \frac{dt}{2\pi t} \geq A(r_0) \int_{r_0}^r \frac{dt}{2\pi t} = \frac{A(r_0)}{2\pi} (\log r - \log r_0),$$

从而

$$\liminf_{r \rightarrow +\infty} \frac{T(r)}{\log r} > 0.$$

Remark. $T(r) = \int_0^r A(t) \frac{dt}{2\pi t} =$

6.5 亏量关系

考虑全纯映射 $f: \mathbb{C} \rightarrow \mathbb{P}_1$.

Definition 6.6. 设 $a \in \mathbb{P}_1$. 称

$$\delta(a) = \liminf_{r \rightarrow +\infty} \frac{m(r, a)}{T(r)}$$

是 f 在 a 处的亏量.

Definition 6.7. 称 $a \in \mathbb{P}_1$ 是 f 的例外值如果 $f(z) \neq a, \forall z \in \mathbb{C}$.

Remark. 由第一主要定理 6.5,

$$\frac{m(r, a)}{T(r)} = 1 - \frac{N(r, a)}{T(r)} + \frac{m(0, a)}{T(r)}.$$

因此

$$\delta(a) = 1 - \limsup_{r \rightarrow +\infty} \frac{N(r, a)}{T(r)}$$

Definition 6.8. $\delta_1 = \liminf_{r \rightarrow +\infty} \frac{N_1(r)}{T(r)}$.

Theorem 6.9 (亏量关系). 设 $f: \mathbb{C} \rightarrow \mathbb{P}_1$ 是一个非常值全纯映射满足

Definition 6.10. $\Psi(r) = \int_{\Delta_r} f^*(\rho\omega).$

Lemma 6.11. $\lambda \sum_{k=1}^q m(r, a_k) + M(r) \leq \frac{1}{4\pi} \log \alpha_\lambda + \frac{1}{4\pi} \log \Phi(r).$

证明. 由 ρ 和 $u_a(z)$ 的定义,

$$\log \rho(f(z)) = -\log \alpha_\lambda + 4\pi\lambda \sum_{k=1}^q u_{a_k}(z).$$

在 $\partial\Delta_r$ 上取平均, 得

$$\frac{1}{2\pi} \int_0^{2\pi} \log \rho(f(re^{i\theta})) d\theta = -\log \alpha_\lambda + 4\pi\lambda \sum_{k=1}^q m(r, a_k).$$

□

7 Schwarz-Kobayashi 引理

Chapter 4

Multi-Valued Toda Map

Toda map $f: U \subset \mathbb{R}^2 \rightarrow \mathrm{SU}(n+1)$ is a map gotten from a set of solution of $\mathfrak{su}(n+1)$ -Toda equation. It plays an important role when we establish the correspondence between the solutions to the $\mathfrak{su}(n+1)$ -Toda equation and nondegenerate totally unramified holomorphic curves into \mathbb{CP}^n .

In this chapter, we will define multi-valued Toda map and examine its monodromy behaviour. Our main result is

Theorem 0.1. *Let μ be the natural group action (which will be defined later) by $\mathrm{SU}(n+1)$ on the set of multi-valued Toda maps. Then*

- (1) *The isotropy group is conjugate to the image of the monodromy representation.*
- (3) *The multi-valued Toda map is single-valued iff the monodromy representation is trivial.*

In section 1, we quickly review the local existence of Toda map. In section 2, we define the multi-valued Toda map. In section 3, we define the monodromy representation and prove the main theorem.

1 Local existence of Toda map

Suppose $\{u_i\}_{i=1}^n$ is a set of solution to the $\mathfrak{su}(n+1)$ -Toda equation

$$-\frac{1}{4}\Delta u_i = \sum_{j=1}^n a_{ij}e^{u_j}$$

on a region $U \subset \mathbb{R}^2$, where $\{a_{ij}\}$ is the Cartan matrix of $\mathfrak{su}(n+1)$.

Define

$$\mathcal{U} = \begin{pmatrix} (w_0)_z & & & \\ & (w_1)_z & & \\ & & \ddots & \\ & & & (w_N)_z \end{pmatrix} + \begin{pmatrix} 0 & & & \\ e^{w_1-w_0} & 0 & & \\ & \ddots & \ddots & \\ & & e^{w_N-w_{N-1}} & 0 \end{pmatrix},$$

$$\mathcal{V} = - \begin{pmatrix} (w_0)_{\bar{z}} & & & \\ & (w_1)_{\bar{z}} & & \\ & & \ddots & \\ & & & (w_N)_{\bar{z}} \end{pmatrix} - \begin{pmatrix} 0 & e^{w_1 - w_0} & & \\ & 0 & \ddots & \\ & & \ddots & e^{w_N - w_{N-1}} \\ & & & 0 \end{pmatrix}$$

and

$$\alpha = \mathcal{U}dz + \mathcal{V}d\bar{z}.$$

Then the $\mathfrak{su}(n+1)$ -Toda equation is equivalent to the structure equation

$$d\alpha + \frac{1}{2}[\alpha, \alpha] = 0.$$

Theorem 1.1. *For any $p \in U$ there exists a neighborhood Ω of p and $f: \Omega \rightarrow \mathrm{SU}(n+1)$ such that $\alpha|_{\Omega} = f^*\omega$, where $\omega = g^{-1}dg$ is the Maurer-Cartan form of $\mathrm{SU}(n+1)$. And for any such f_1, f_2 there exists $g \in \mathrm{SU}(n+1)$ such that $f_1 = g \cdot f_2$.*

For later use, we prove theorem 1.1 in a more general version

Theorem 1.2. *Let G be a Lie group with Lie algebra \mathfrak{g} . Let α be a \mathfrak{g} -valued 1-form on the smooth manifold M satisfying the structural equation $d\alpha + \frac{1}{2}[\alpha, \alpha] = 0$. Then, for each point $p \in M$, there is a neighborhood Ω of p and a smooth map $f: \Omega \rightarrow G$ such that $\alpha|_{\Omega} = f^*\omega_G$, where ω_G is the Maurer-Cartan form of G .*

证明. Let $\pi_G: G \times M \rightarrow G$ and $\pi_M: G \times M \rightarrow M$ denote the canonical projections. Let $\Psi = \pi_M^*\alpha - \pi_G^*\omega_G$ and let \mathcal{D} be the distribution defined by the kernel of Ψ . Calculating the exterior derivative of Ψ , we get

$$\begin{aligned} d\Psi &= d\pi_M^*\alpha - d\pi_G^*\omega_G = \pi_M^*(d\alpha) - \pi_G^*(d\omega_G) \\ &= \pi_M^*\left(-\frac{1}{2}[\alpha, \alpha]\right) - \pi_G^*\left(-\frac{1}{2}[\omega_G, \omega_G]\right) \\ &= -\frac{1}{2}[\pi_M^*\alpha, \pi_M^*\alpha] + \frac{1}{2}[\pi_G^*\omega_G, \pi_G^*\omega_G] \end{aligned}$$

Now make the replacement $\pi_M^*\alpha = \pi_G^*\omega_G + \Omega$ so that

$$d\Psi = -\frac{1}{2}[\pi_G^*\omega_G, \Psi] - \frac{1}{2}[\Psi, \pi_G^*\omega_G] - \frac{1}{2}[\Omega, \Omega].$$

Thus, $d\Psi(X, Y) = 0$ whenever $\Psi(X) = \Psi(Y) = 0$. Therefore, by Frobenius theorem, the distribution \mathcal{D} is integrable. Finally, we are going to construct, for each $p \in M$, a neighborhood Ω of p in M and a smooth map $f: \Omega \rightarrow G$ such that $\alpha|_{\Omega} = f^*\omega_G$. Let \mathcal{L} be a leaf through the point $(p, g) \in M \times G$. The derivative of the restriction of π_M to \mathcal{L} induces isomorphism $\pi_{M*}: \mathcal{D}_{(g,p)} \rightarrow T_p M$ and so the restriction of π_M to \mathcal{L} is a local diffeomorphism of a neighborhood of (p, g) to some neighborhood of p in M . Let $F: \Omega \rightarrow \mathcal{L}$ be the inverse map. Since $\pi_M F = \mathrm{Id}_{\Omega}$, F must have the form $F(p) = (p, f(p))$ where $f: \Omega \rightarrow G$. Now $F^*\Psi = \Psi F_* = 0$, thus we have

$$0 = F^*\Psi = F^*(\pi_M^*\alpha) - F^*(\pi_G^*\omega_G) = \alpha - f^*\omega_G.$$

As for the uniqueness, Let $h: \Omega \rightarrow G$ given by $h(x) = f_2(x)f_1(x)^{-1}$. Then $h^*\omega_G = \mathrm{Ad}(f_1)(f_2^*\omega_G - f_1^*\omega_G)$, where $\mathrm{Ad}: G \rightarrow \mathrm{GL}(\mathfrak{g})$ is the adjoint representation of G . Since the later expression vanishes

by assumption and $h^*\omega_G = \omega_G h_*$, we see that $h_*: TM \rightarrow TG$ induces the zero map on each tangent space. It follows that h is the constant map. In particular, $f_2(x) = g \cdot f_1(x)$ for all $x \in \Omega$ where g is some fixed element of G . \square

When $G = \mathrm{SU}(n+1)$ and $M = U \subset \mathbb{R}^2$ we get theorem 1.1.

2 Multi-Valued Toda map

With the local existence in hand we can define the multi-valued Toda map as the procedure when we try to define Log on the whole \mathbb{C}^* .

Let (Ω, f) represents that $f: \Omega \rightarrow \mathrm{SU}(n+1)$ is a Toda map. Then we say (Ω_1, f_1) and (Ω_2, f_2) are direct continuations of each other if $\Omega_1 \cap \Omega_2 \neq \emptyset$ and $f_1 = f_2$ on $\Omega_1 \cap \Omega_2$. More specifically, (Ω_2, f_2) is called a direct continuation of (Ω_1, f_1) to the region Ω_2 .

Regarding theorem 1.1, for any (Ω_1, f_1) and (Ω_2, f_2) satisfying $\Omega_1 \cap \Omega_2 \neq \emptyset$ there exists $g \in G$ such that (Ω_1, f_1) and $(\Omega_2, g \cdot f_2)$ are direct continuations of each other.

We say (Ω_n, f_n) is a continuation of (Ω_1, f_1) if there exists a series of $(\Omega_1, f_1), \dots, (\Omega_n, f_n)$ such that (Ω_k, f_k) and (Ω_{k+1}, f_{k+1}) are direct continuations of each other for any $1 \leq k \leq n-1$.

It is easy to check that this defines an equivalence relation. We call the equivalence classes multi-valued Toda maps.

3 Monodromy representation

In this section we fix $\{u_i\}_{i=1}^n$ a set of solution to $\mathfrak{su}(n+1)$ -Toda equation on $U \subset \mathbb{R}^2$ and α the 1-form we get from $\{u_i\}_{i=1}^n$ as the procedure in section 1. Let \mathcal{M} be the set of all multi-valued Toda map on U corresponding to $\{u_i\}_{i=1}^n$. Then there is a left group action on \mathcal{M} by $\mathrm{SU}(n+1)$

$$\begin{aligned} \mu: \mathrm{SU}(n+1) \times \mathcal{M} &\longrightarrow \mathcal{M} \\ g, [(\Omega, f)] &\longmapsto [(\Omega, g \cdot f)] \end{aligned}$$

It is easy to see that if (Ω_1, f_1) and (Ω_2, f_2) are direct continuation of each other, then $(\Omega_1, g \cdot f_1)$ and $(\Omega_2, g \cdot f_2)$ are also direct continuation of each other. So μ is well-defined.

We are curious about that when (Ω, f) and $(\Omega, g \cdot f)$ represent the same multi-valued Toda map. In particular, we see that if $[(\Omega, f)] \neq [(\Omega, g \cdot f)]$ for any $g \in \mathrm{SU}(n+1)$, then $[(\Omega, f)]$ is actually single-valued. To do this, we need to examine the behaviour of the Toda map when we travel along a closed curve. Precisely, we need

Lemma 3.1. *Given any smooth curve $\sigma: (I = [a, b], \partial I) \rightarrow (U, x)$. Then for any $g \in \mathrm{SU}(n+1)$ there exists a unique $\tilde{\sigma}: (I, a) \rightarrow (\mathrm{SU}(n+1), g)$ such that $\tilde{\sigma}^* \omega = \sigma^* \alpha$, where ω is the Maurer-Cartan form on $\mathrm{SU}(n+1)$. Recall $f: (X, A) \rightarrow (Y, B)$ means that f is a map from X to Y such that $f(A) \subset B$.*

证明. Since I is a manifold of dimension 1, any 1-form on it satisfies the structural equation. Apply theorem 1.2, for any $t \in I$ we can find an open neighborhood V_t of t and $\tilde{\sigma}_t: V_t \rightarrow \mathrm{SU}(n+1)$ such that $\tilde{\sigma}_t^* \omega = \sigma^* \alpha|_{V_t}$. We can assume V_t is connected, it can always be done by taking the connected component of V_t containing t . By the compactness of I , we can find finite $t_1 < t_2 < \dots < t_l$ such that $\{V_{t_i}\}_{i=1}^l$ covers I . We can assume V_{t_i} only intersect with $V_{t_{i-1}}$ and $V_{t_{i+1}}$ for $2 \leq i \leq l-1$. On V_{t_1} , we choose $\tilde{\sigma}_{t_1}$ such that $\tilde{\sigma}_{t_1}(a) = g$. On V_{t_2} , we choose $\tilde{\sigma}_{t_2}$ such that $\tilde{\sigma}_{t_1} = \tilde{\sigma}_{t_2}$ on $V_{t_1} \cap V_{t_2}$. In this way, we can paste all $\tilde{\sigma}_{t_i}$ into a global map $\tilde{\sigma}$ defined on I such that $\tilde{\sigma}(a) = g$ and $\tilde{\sigma}^* \omega = \sigma^* \alpha$. \square

We call such that $\tilde{\sigma}$ the development of α along σ starting at g . This terminology follows [?]. Suppose $\tilde{\sigma}_0$ is the development of α along σ starting at e . Then by the uniqueness part of theorem 1.2 we can see $\tilde{\sigma} = g \cdot \tilde{\sigma}_0$. So

$$\tilde{\sigma}(a)^{-1} \tilde{\sigma}(b) = \tilde{\sigma}_0(a)^{-1} \cdot g^{-1} \cdot g \cdot \tilde{\sigma}_0(b) = \tilde{\sigma}_0(a)^{-1} \tilde{\sigma}_0(b) = \tilde{\sigma}_0(b).$$

In this way we see that the value of $\tilde{\sigma}(a)^{-1} \tilde{\sigma}(b)$ does not depend on the choice of $\tilde{\sigma}(a)$. We denote it by g_σ . It is obvious that $g_\sigma = \tilde{\sigma}_0(b)$.

Proposition 3.2. *The following are equivalent*

- (1) (Ω, f) and $(\Omega, g \cdot f)$ are continuations of each other.
- (2) There exists smooth curve $\sigma: (I, \partial I) \rightarrow (U, x)$ such that $x \in \Omega$ and $g = f(x)g_\sigma f(x)^{-1}$.

证明. First assume the equivalence is true when $f(x) = e$. Then for general (Ω, f) , we have

$$(\Omega, f) \text{ and } (\Omega, g \cdot f) \text{ are continuations of each other}$$

$$\begin{aligned} &\iff (\Omega, f(x)^{-1} \cdot f) \text{ and } (\Omega, f(x)^{-1} g f(x) f(x)^{-1} \cdot f) \text{ are continuations of each other} \\ &\iff \exists \sigma \text{ s.t. } f(x)^{-1} g f(x) = g_\sigma \end{aligned}$$

Now we prove the proposition for $f(x) = e$.

- (1) \implies (2) By definition, there exists $(\Omega_0, f_0) = (\Omega, f), (\Omega_1, f_1), \dots, (\Omega_n, f_n) = (\Omega, g \cdot f)$ such as (Ω_i, f_i) and (Ω_{i+1}, f_{i+1}) are direct continuation of each other for $0 \leq i \leq n-1$. We can find $x_0 = x, x_1, \dots, x_n, x_{n+1} = x$ such that $x_i \in \Omega_{i-1} \cap \Omega_i$ for $1 \leq i \leq n$. We can find a closed smooth curve σ with base point x such that it pass through all x_i for $1 \leq i \leq n$.

Since $f_i^* \omega = \alpha$ and $\sigma^* \alpha = \tilde{\sigma}^* \omega$, we have $(f_i \circ \sigma)^* \omega = \tilde{\sigma}^* \omega$. By uniqueness of Toda map we know that $f_i \circ \sigma$ and $\tilde{\sigma}$ can differ at most up to a left multiplication. We assume $f_i \circ \sigma$ agrees with $\tilde{\sigma}$, then the fact that f_i agrees with f_{i+1} on $\Omega_i \cap \Omega_{i+1}$ implies $f_{i+1} \circ \sigma$ also agrees with $\tilde{\sigma}$. Now we select $\tilde{\sigma}$ such that it starts at e , then it agrees with (f_0, Ω_0) . By the transitivity it agrees with (f_n, Ω_n) , i.e. $g_\sigma = \tilde{\sigma}(b) = g$.

- (2) \implies (1) For any $t \in I$, there is (Ω_t, f_t) such that $\sigma(t) \in \Omega_t$. Set $\Omega_0, \Omega_n = \Omega$, by the compactness of $\sigma(I)$ we can find $\{\Omega_i\}_{i=1}^{n-1}$ such that $\Omega_i \cap \Omega_{i+1} \neq \emptyset$ for all $0 \leq i \leq n-1$ and $\sigma(I) \subset \cup_{i=0}^{n-1} \Omega_i$. Set $(\Omega_0, f_0) = (\Omega, f)$, select proper f_i such that (Ω_i, f_i) and (Ω_{i+1}, f_{i+1}) are direct continuation of each other for $0 \leq i \leq n-1$. Then $(\Omega, f) \sim (\Omega, f_n)$, by the uniqueness there exists g such that $f_n = g \cdot f$. By the same argument in (1) \implies (2) we see that $g = g_\sigma$.

□

For (Ω, f) such that $f(x) = e$, we have diagram as follows

$$\begin{array}{ccc} (\Omega, f) & \xrightarrow{\sigma} & (\Omega, g_\sigma \cdot f) \\ \downarrow \gamma & \searrow \gamma^* \sigma & \\ (\Omega, g_\gamma \cdot f) & \xrightarrow{\sigma} & (\Omega, g_\gamma g_\sigma \cdot f) \end{array}.$$

Now we define the monodromy representation for given base point $x \in U$

$$\begin{aligned} \Phi_x: \pi_1(U, x) &\longrightarrow \text{SU}(n+1) \\ [\sigma] &\longmapsto g_\sigma \end{aligned}$$

The well-definedness of Φ_x is guaranteed by the fact that $d\alpha + \frac{1}{2}[\alpha, \alpha] = 0$. Precisely we have

Proposition 3.3. *Let $\sigma_1, \sigma_2: (I, \partial I) \rightarrow (U, x)$ be smooth homotopic curves. Then the development $\tilde{\sigma}_i$ of α along σ_i starting at g has the same endpoint, where $i = 1, 2$.*

证明. Let $h: (I \times I, a \times I \cup b \times I) \rightarrow (U, x)$ be the smooth homotopy joining σ_1 and σ_2 . The first parameter of h refers to the position on one particular curve and the second parameter of h refers to which curve we are talking about. Now $h^* \alpha$ is a $\mathfrak{su}(n+1)$ valued 1-form on $I \times I$ that satisfies the strucral equation. Apply similar argument as lemma 3.1 twice, first to all interval looks like $I \times \{t\}$, we get a map $H: I \times I \rightarrow \text{SU}(n+1)$ such that $H(a, a) = g$ and $H^* \omega = h^* \alpha$. We show $H(b, t)$ is constant for any t by showing $H_*(0, v) = 0$ for any tangent vector $(0, v)$ at any point (b, t) . Since the Maurer-Cartan form ω is isomorphic between tangent vector spaces when restricted to

one point $H_*(0, v) = 0$ is equivalent to $0 = \omega(H_*(0, v)) = *\omega(0, v) = h^*\alpha(0, v)$. This is true since $h(b, t)$ is constant for t . \square

From the diagram above we see that Φ_x is a group homomorphism.

Suppose (Ω, f) satisfy $f(x) = e$, we determine the isotropy group of $[(\Omega, f)]$. We see from above that $(\Omega, f) \sim (\Omega, g \cdot f)$ iff $g \in \text{Im } \Phi$. By the transitivity we have $[(\Omega, f)] = [(\Omega, g \cdot f)]$ iff $(\Omega, f) \sim (\Omega, g \cdot f)$. So the isotropy group of $[(\Omega, f)]$ is $\text{Im } \Phi_x$.

For general (Ω, f) , by similar argument, the isotropy group is equal to $f(x) \text{Im } \Phi_x f(x)^{-1}$, the conjugate subgroup by $f(x)$ of $\text{Im } \Phi_x$ in $\text{SU}(n+1)$.

Actually we have proved

Theorem 3.4. *Let μ be the group action by $\text{SU}(n+1)$ on the set of multi-valued Toda maps. Then*

- (1) *Any isotropy group is conjugate to the image of the monodromy representation.*
- (3) *The multi-valued Toda map is single-valued iff the monodromy representation is trivial.*

Chapter 5

度量与曲率

1 共形度量

参考资料:

- 王作勤老师 16 年黎曼几何讲义第 1 讲和第 9 讲
- [Conformal metrics on Riemann surfaces](#)
- [Wiki:Conformal map](#)
- [Wiki:Conformal geometry](#)
- [On the existence of local isothermal coordinates on a surface](#)

Definition 1.1. 设 M 是光滑流形, g 和 g' 都是 M 上的黎曼度量. 如果存在 $u \in C^\infty(M)$ 使得

$$g' = e^u g,$$

则称 g' 共形于 g .

容易看出共形是等价关系, 因此我们可以考虑度量的共形等价类. 著名的 Yamabe 问题就是说, 设 (M, g) 是 n 维紧黎曼流形, 其中 $n \geq 3$, 在 g 的共形等价类中是否存在常数量曲率的度量?

Definition 1.2. 设 (M, g) 是黎曼流形, 称它是局部共形平坦的, 如果对任意 $p \in M$, 存在坐标卡 (U, x) 使得 $g|_U = e^u(dx^1 \otimes dx^1 + \cdots + dx^n \otimes dx^n)$, 即 $g|_U$ 共形等价于平坦度量. 称 (U, x) 为等温坐标系.

Theorem 1.3. 二维黎曼流形局部上总是存在等温坐标系.

证明. □

设 M 是二维光滑流形, 给定其上的黎曼度量 g , 由上述定理, 其上存在一坐标图册, 每个坐标卡都是到欧氏空间开区域的共形映射. 保定向的共形映射是全纯的, 因此该坐标图册也给出复流形结构 J . 此时人们又称 g 是黎曼曲面 (M, J) 上的共形度量.

问题: 我们是否需要挑出保定向的一部分? 毕竟, 任给两个等温坐标系, 它们之间的转移映射不一定是保定向的吧.

问题: 给定黎曼曲面 (M, J) , 是否存在共形度量 g 使得 g 按上述过程诱导的复结构就是 (M, J) ? 若存在, 是否唯一?

2 去心圆盘上的度量

我们来看一个去心圆盘上的度量, 设其局部表达为 $\frac{\sqrt{-1}}{2}e^u dz \wedge d\bar{z}$. (这是否已经是一个假设? 因为在圆盘上我们知道, 共形度量总能局部上写成这个样子, 但是一旦穿孔, 还能有这样的整体表达么?) 我们关心这个度量在原点处的行为. 目前我们一共关心两种可能, 第一种就是实际上很好, 这是整个圆盘上的光滑度量; 第二种可能就是一个锥奇点, 之前我们已经介绍过 $z \mapsto z^n$ 的拉回度量就是一个锥度量, 严格定义来说就是 $u - \gamma \ln |z|$ 是一个连续函数.

好, 我们一般会给度量加上条件, 首先是面积有限条件 (以后还会讨论多项式级别增长)

$$\frac{\sqrt{-1}}{2} \int_{D^*} e^u dz \wedge d\bar{z} < +\infty$$

也就是说 e^u 是 L^1 可积的.

3 黎曼球上常 Gauss 曲率度量与 Liouville 方程的解

设 g 是 \mathbb{S}^2 上常 Gauss 曲率为 K 的度量.

Remark. 由 *Gauss-Bonnet* 公式, $K > 0$. 易知这样的度量是存在的, 我想也是唯一的, 但我不知道怎么说明它是唯一的.

取等温坐标系 (U, x) , 即在该坐标系下 g 有 $g = e^u (dx^1 \otimes dx^1 + dx^2 \otimes dx^2)$ 的形式. 在等温坐标系下, Gauss 曲率

$$K = -\frac{\Delta u}{2e^u} \implies \Delta u + 2Ke^u = 0.$$

很自然地, 在单连通域 Ω 上, 如果 $f: \Omega \rightarrow \mathbb{C} \cup \{\infty\} \simeq \mathbb{S}^2$ 是一个全纯映射 (可能会有极点), 那么 $e^v |dz|^2 = f^* ds^2$ 时, 容易验证 v 也满足 (2). 一个方法是直接写出 v 的表达式

$$v = \log \frac{|f'|^2}{(1 + K/4|f|^2)^2}. \quad (5.1)$$

Remark. 称这样的 f 为展开映射.

事实上 (3) 给出了全部解的一个表达形式:

Theorem 3.1. *Liouville* 方程在单连通域上的解一定形如

$$u = \log \frac{|f'|^2}{(1 + K/4|f|^2)^2}, \quad (5.2)$$

其中 f 是一个仅有一阶极点的亚纯函数.

Remark. 如果 $u(x, y) = u(z, \bar{z})$ 是一个解, 那么

$$G(z, \bar{z}) = \frac{\partial^2 u}{\partial z^2} - \frac{1}{2} \left(\frac{\partial u}{\partial z} \right)^2$$

是一个全纯函数, 并且是 f 的 *Schwarzian* 导数.

同时, 当 $K < 0$ 时, *Liouville* 方程不在整个平面上有解.

4 常曲率度量的展开映射

参考资料

- 太平洋论文
- Peterson 黎曼几何第二版
-

5 锥奇点

Definition 5.1. 设 Σ 是紧黎曼曲面, p 是 Σ 上的一点, $d\sigma^2$ 是 Σ 上的共形度量. 称 $d\sigma^2$ 在 p 点有一个角度为 $2\pi\alpha > 0$ 的锥奇点, 如果在以 p 点为中心的某个坐标卡 (U, z) 内,

$$d\sigma^2 = e^{2\varphi}|dz|^2,$$

且其中 $\varphi - (\alpha - 1)\ln|z|$ 在邻域 U 内连续.

- 关于锥奇点的定义中存在的一个细节是 $d\sigma^2$ 其实并不是 Σ 上传统意义下的度量, 而是 $\Sigma \setminus \{p\}$ 上的度量.
- 因为二维黎曼流形局部上总是存在等温坐标系, 所以局部上总可以写成 $e^u|dz|^2$ 这种样子. 但这个局部应该说并不包含 p 点. 所以首先 p 点周围可以写成这个样子本身似乎就挺强的.
- 问题: 角度的概念是否良定, 比如会不会同时存在坐标卡 (V, w) 和其上的函数 ψ , 使得 $d\sigma^2 = e^{2\psi}|dw|^2$ 且 $\psi - (\beta - 1)\ln|w|$ 在邻域 V 内连续但 $\alpha \neq \beta$.
- φ 在 $0 < |z| < 1$ 满足的方程是

$$\Delta\varphi + Ke^{2\varphi} = 0.$$

φ 在极点处满足的方程是什么?

- 如何将 α 直观理解为角度? 或许可以考虑 $z \mapsto z^\alpha$ 的拉回度量

6 Chou-Wan 论文

Proposition 6.1. 设 $u: \mathbb{R}^2 \rightarrow \mathbb{R}$ 满足

(1) u 是方程 $\Delta u + 2Ke^u = 0$ 的解, 其中 $K > 0$ 是常数.

(2) $\int_{\mathbb{R}^2} e^u < \infty$.

则 u 形如

$$u(x) = \log \frac{16\lambda^2}{(4 + \lambda^2 K |x - x_0|^2)^2},$$

其中 $x_0 \in \mathbb{R}^2, \lambda > 0$ 是常数.

证明.

$$e^u(dx \otimes dx + dy \otimes dy) = f^*g_K$$

$$\int_{\mathbb{R}^2} e^u = \int_{\mathbb{R}^2} e^u dx \wedge dy =$$

黎曼度量 $e^u(dx \otimes dx + dy \otimes dy)$ 诱导体积形式 $e^u dx \wedge dy$. $e^u dx \wedge dy$ 在 \mathbb{R}^2 上诱导一个测度
按几何测度论那个定理 f 拉回一个测度.

断言这两个测度是一样的. 在承认断言的基础上完成证明.

$$\int_{\mathbb{R}^2} e^u = \mu(\mathbb{R}^2) = \int N(f, y) dy < +\infty.$$

所以 f 在无穷远处不可能是本性奇点.

□

7 面积有限条件下去心圆盘上常正曲率度量的局部模型

Proposition 7.1. 设 $d\sigma^2$ 是去心单位圆盘 $\Delta^* = \{w \in \mathbb{C} \mid 0 < |w| < 1\}$ 上 Gauss 曲率为 1 的度量. 假设 Δ^* 的 $d\sigma^2$ -面积有限. 那么, 存在某 $\Delta_\varepsilon = \{w \in \mathbb{C} \mid |w| < \varepsilon\}$ 上的局部坐标 z 满足 $z(0) = 0$ 和

$$d\sigma^2|_{\Delta_\varepsilon} = \frac{4(\beta+1)^2(z\bar{z}^\beta)}{(1+(z\bar{z})^{\beta+1})^2}|dz|^2 = \frac{4(\beta+1)^2(x^2+y^2)^\beta}{(1+(x^2+y^2)^{\beta+1})^2}(dx \otimes dx + dy \otimes dy).$$

证明.

(0) • 验算 $d\sigma^2$ 确实常曲率 +1.

• 计算 $d\sigma^2$ 在原点处的锥角度.

(1) Δ^* 上多值的展开映射 f . 参见4节.

(2) 因为 f 复合上 $\text{PSU}(2)$ 中的一个元素后还是展开映射, 所以可选取一个合适的 $\text{PSU}(2)$ 中的元素, 使得 f 复合上它后 monodromy 表现为绕过原点和无穷远点的轴的旋转.

而 $z \mapsto z^\alpha$ 有相同的 monodromy.

所以 $\frac{f}{z^\alpha}$ 决定出一个单值亚纯函数 ψ , 即 f 形如 $f = z^\alpha \psi$.

(3) 面积有限条件 $\implies \psi$ 在 0 处是孤立奇点, 且至多为极点.

• α 为有理数. Picard 定理

• α 为无理数. Nevanlinna 理论. 参见3章.

– 不知道 Griffiths 论文中的函数 h 对应到我们这里的谁?

– 有限面积条件怎么就是 $\int_{\Delta^*} dd^C(1 + |w^\alpha \psi(w)|^2) < +\infty$ 了?

– 基本积分公式的证明开头做的假定?

– 为什么可以拆成两部份证?

– 两部分各自是怎么证的?

(4) 所以, 存在整数 n 使得 $z^{-n}\psi(z)$ 在原点的某个邻域 $U_\rho = \{z \in \mathbb{C} \mid |z| < \rho\}$ 上恒不为零.

所以, 存在 U_ρ 上的全纯函数 $g(z)$ 使得 $\psi(z) = z^n e^{g(z)}$, 对于 $z \in U_\rho$.

所以, 在 U_ρ 上有 $f = z^{\alpha+n} e^{g(z)}$.

(i) 当 $\alpha + n > 0$ 时. 取 $\beta = \alpha + n - 1$ 和 $z = we^{g/(\beta+1)}$

(ii) 当 $\alpha + n < 0$ 时.

(iii) 当 $\alpha + n = 0$ 时.

□

8 面积有限条件下去心复平面上常正曲率度量的局部模型

Proposition 8.1. 设 $d\sigma^2$ 是去心复平面 \mathbb{C}^* 上 Gauss 曲率为常值 1 的度量. 假设 \mathbb{C}^* 的 $d\sigma^2$ -面积是有限的.

证明. • We have multi-valued development map $f: \mathbb{C}^* \rightarrow \mathbb{P}^1$.

- There exists $\alpha \in [0, 1)$ and meromorphic function $\psi: \mathbb{C}^* \rightarrow \mathbb{P}$ such that $f = z^\alpha \psi$.
- We know f is nondegenerate, i.e. $df \neq 0$ on \mathbb{C}^* .

– We assume ψ is also nondegenerate on \mathbb{C}^* . This is true when $\alpha = 0$. The general case is still unclear for me.

By Bryant, ψ have at most poles at 0 and ∞ . So we can extend ψ to holomorphic map $\psi: \mathbb{P}^1 \rightarrow \mathbb{P}^1$ which can only degenerate at 0 and ∞ . By complex analysis we know holomorphic maps from \mathbb{P}^1 to \mathbb{P}^1 are rational functions. Suppose ψ is a n -sheeted ramified covering and the ramification indexes of 0 and ∞ are d_0 and d_∞ . Then by R-H formula we have

$$\chi(\mathbb{P}^1) = n\chi(\mathbb{P}^1) - (d_0 - 1) + (d_\infty - 1) \implies d_0 + d_\infty = 2n.$$

Combined with obvious conditions $d_0 \leq n$ and $d_\infty \leq n$, we have $d_0 = d_\infty = n$. And we know $\psi(0) \neq \psi(\infty)$ otherwise $d_0 + d_\infty = 2n > n$, a contradiction. After composing a Mobius transformation, we can assume $\psi(0) = 0$ and $\psi(\infty) = \infty$.

Suppose $\psi = \frac{P}{Q}$ where P and Q are polynomials, we seek the form of ψ

- * Since ψ is n -sheeted, $\psi(\infty) = \infty$ and $d_\infty = n$, there is no point $p \in \mathbb{C}$ such that $\psi(p) = \infty$. As a consequent Q is a nonzero constant.
- * Since ψ is n -sheeted, $\psi(0) = 0$ and $d_0 = n$, there is no point $p \in \mathbb{C}^*$ such that $\psi(p) = 0$. As a consequent $P = z^n$ up to a nonzero constant.
- * So $\psi = \lambda z^n$, where $\lambda \in \mathbb{C}^*$ is a constant.

Next step, we study what the metric pulled back by $f = \lambda z^{\alpha+n}$ is.

□

9 11 月 20 日学长报告

老师说原点的奇性蕴含局部的面积有限条件？

10 Fuchsian 方程

11 李柏的本科毕业论文

Chapter 6

Open $\mathfrak{su}(n+1)$ -Toda 方程与全纯曲线

我们将在本章中建立单连通区域 $\Omega \subset \mathbb{C}$ 上 $SU(n+1)$ -Toda 方程的解与 Ω 到 \mathbb{CP}^n 中的线性满全纯曲线之间的一一对应.

1 Fubini-Study 度量

2 title

$$\begin{aligned}
& \begin{cases} u_1 = 2w_1 - 2w_0 \\ u_2 = 2w_2 - 2w_1 \\ u_3 = 2w_3 - 2w_2 \\ w_0 + w_1 + w_2 + w_3 = 0 \end{cases} \implies \begin{cases} u_1 = 4w_1 + 2w_2 + 2w_3 \\ u_2 = 2w_2 - 2w_1 \\ u_3 = 2w_3 - 2w_2 \end{cases} \\
& \begin{pmatrix} u_1 \\ u_2 \\ u_3 \end{pmatrix} = \begin{pmatrix} 4 & 2 & 2 \\ -2 & 2 & 0 \\ 0 & -2 & 2 \end{pmatrix} \begin{pmatrix} w_1 \\ w_2 \\ w_3 \end{pmatrix} \\
& \Delta \begin{pmatrix} u_1 \\ u_2 \\ u_3 \end{pmatrix} = \begin{pmatrix} -4 & 2 & 0 \\ 2 & -4 & 2 \\ 0 & 2 & -4 \end{pmatrix} \begin{pmatrix} e^{u_1} \\ e^{u_2} \\ e^{u_3} \end{pmatrix} \\
& \begin{pmatrix} 4 & 2 & 2 \\ -2 & 2 & 0 \\ 0 & -2 & 2 \end{pmatrix} \Delta \begin{pmatrix} w_1 \\ w_2 \\ w_3 \end{pmatrix} = \begin{pmatrix} -4 & 2 & 0 \\ 2 & -4 & 2 \\ 0 & 2 & -4 \end{pmatrix} \begin{pmatrix} e^{u_1} \\ e^{u_2} \\ e^{u_3} \end{pmatrix} \\
& \begin{pmatrix} 2 & 1 & 1 \\ -1 & 1 & 0 \\ 0 & -1 & 1 \end{pmatrix} \Delta \begin{pmatrix} w_1 \\ w_2 \\ w_3 \end{pmatrix} = \begin{pmatrix} -2 & 1 & 0 \\ 1 & -2 & 1 \\ 0 & 1 & -2 \end{pmatrix} \begin{pmatrix} e^{u_1} \\ e^{u_2} \\ e^{u_3} \end{pmatrix} \\
& \Delta \begin{pmatrix} w_1 \\ w_2 \\ w_3 \end{pmatrix} = \begin{pmatrix} \frac{1}{4} & -\frac{1}{2} & -\frac{1}{4} \\ \frac{1}{4} & \frac{1}{2} & -\frac{1}{4} \\ \frac{1}{4} & \frac{1}{2} & \frac{3}{4} \end{pmatrix} \begin{pmatrix} -2 & 1 & 0 \\ 1 & -2 & 1 \\ 0 & 1 & -2 \end{pmatrix} \begin{pmatrix} e^{u_1} \\ e^{u_2} \\ e^{u_3} \end{pmatrix} = \begin{pmatrix} -1 & 1 & 0 \\ 0 & -1 & 1 \\ 0 & 0 & -1 \end{pmatrix} \begin{pmatrix} e^{u_1} \\ e^{u_2} \\ e^{u_3} \end{pmatrix} \\
& \begin{cases} \Delta w_1 = -e^{2w_1-2w_0} + e^{2w_2-2w_1} \\ \Delta w_2 = -e^{2w_2-2w_1} + e^{2w_3-2w_2} \\ \Delta w_3 = -e^{2w_3-2w_2} \\ \Delta w_0 = e^{2w_1-2w_0} \end{cases} \\
& \begin{cases} w_i = w_0 + \frac{1}{2} \sum_{j=1}^i u_j \\ w_0 = -\frac{1}{2(n+1)} \sum_{i=1}^n (n-i+1)u_i \end{cases}
\end{aligned}$$

令

$$\mathcal{U} = \begin{pmatrix} (w_0)_z & & & \\ e^{w_1-w_0} & (w_1)_z & & \\ & e^{w_2-w_1} & (w_2)_z & \\ & & e^{w_3-w_2} & (w_3)_z \end{pmatrix}, \quad \mathcal{V} = - \begin{pmatrix} (w_0)_{\bar{z}} & e^{w_1-w_0} & & \\ & (w_1)_{\bar{z}} & e^{w_2-w_1} & \\ & & (w_2)_{\bar{z}} & e^{w_3-w_2} \\ & & & (w_3)_{\bar{z}} \end{pmatrix}$$

$$\mathcal{U}_{\bar{z}} = \begin{pmatrix} (w_0)_{z\bar{z}} & & & \\ (w_1 - w_0)_{\bar{z}} e^{w_1 - w_0} & (w_1)_{z\bar{z}} & & \\ & (w_2 - w_1)_{\bar{z}} e^{w_2 - w_1} & (w_2)_{z\bar{z}} & \\ & & (w_3 - w_2)_{\bar{z}} e^{w_3 - w_2} & (w_3)_{z\bar{z}} \end{pmatrix}$$

$$\mathcal{V}_z = - \begin{pmatrix} (w_0)_{z\bar{z}} & (w_1 - w_0)_z e^{w_1 - w_0} & & \\ & (w_1)_{z\bar{z}} & (w_2 - w_1)_z e^{w_2 - w_1} & \\ & & (w_2)_{z\bar{z}} & (w_3 - w_2)_z e^{w_3 - w_2} \\ & & & (w_3)_{z\bar{z}} \end{pmatrix}$$

3 到复射影空间的全纯映射的提升

Proposition 3.1. 设 Σ 是黎曼曲面, $f: \Sigma \rightarrow \mathbb{CP}^n$ 是全纯映射. 对任意 $x \in \Sigma$, 存在邻域 U 和全纯映射 $\tilde{f}: U \rightarrow \mathbb{C}^{n+1} \setminus \{0\}$ 使得下列图表交换

$$\begin{array}{ccc} & & \mathbb{C}^{n+1} \setminus \{0\} \\ & \nearrow & \downarrow \\ U & \longrightarrow & \mathbb{CP}^n \end{array}$$

Proposition 3.2. 设 Σ 是黎曼曲面, $F: \Sigma \rightarrow \mathbb{C}^{n+1}$ 至多只有孤立零点, 则可以定义 $f: \Sigma \rightarrow \mathbb{CP}^n$.

Proposition 3.3. 设 Σ 是非紧黎曼曲面, $f: \Sigma \rightarrow \mathbb{CP}^n$ 是全纯映射. 那么存在整体提升.

4 伴随曲线

设 Σ 是黎曼曲面, $f: \Sigma \rightarrow \mathbb{CP}^n$ 是全纯映射, $v: U \rightarrow \mathbb{C}^{n+1} \setminus \{0\}$ 是 f 在 U 上的局部提升. 设 (U, z) 是 U 上的一个全纯坐标卡, 对于 $0 \leq k \leq n$, 定义

$$\Lambda_k(v) = v \wedge \frac{dv}{dz} \wedge \cdots \wedge \frac{d^k v}{dz^k} \in \text{HoloMap} \left(U, \bigwedge^{k+1} \mathbb{C}^{n+1} \right).$$

我们知道, 如果 $\Lambda_k(v)$ 至多有孤立零点, 我们就可以考虑

$$f_k(v)(z) := [v(z) \wedge \frac{dv}{dz}(z) \wedge \cdots \wedge \frac{d^k v}{dz^k}(z)].$$

那么, 什么时候 $\Lambda_k(v)$ 至多有孤立零点呢?

Proposition 4.1. 设 Σ 是黎曼曲面, $f: \Sigma \rightarrow \mathbb{CP}^n$ 是全纯映射. 如下两条等价:

- (1) $\text{Im } f$ 不被包含在任何超平面中. 我们称这样的 f 是线性满的.
- (2) 对任意局部提升 $v: U \rightarrow \mathbb{C}^{n+1} \setminus \{0\}$ 和任意全纯坐标卡 (U, z) ,

$$v \wedge \frac{dv}{dz} \wedge \cdots \wedge \frac{d^n v}{dz^n}$$

在 U 上至多有孤立零点.

证明.

- 假设 $v \wedge v' \wedge \cdots \wedge v^{(n)} \equiv 0$, 那么 $v^{(n)} \equiv 0 \pmod{(v, \dots, v^{(n-1)})}$. 那么

$$\begin{aligned} (v(z) \wedge \cdots \wedge v^{(n-1)}(z))' &= v(z) \wedge \cdots \wedge v^{(n-2)}(z) \wedge v^{(n)}(z) \\ &= \lambda(z) \cdot v(z) \wedge \cdots \wedge v^{(n-1)}(z) \end{aligned}$$

因此 $\text{Im } f$ 落在 \mathbb{CP}^n 的 $n-1$ 维平面中, 与 f 线性满的假设矛盾.

- 假设 $\text{Im } f$ 落在某超平面中, 即某提升的像 $\text{Im } v$ 落在余 1 维子空间中, 那么 v 的各阶导数的像也落在该余 1 维子空间中, 那么 $v \wedge v' \wedge \cdots \wedge v^{(n)} \equiv 0$, 矛盾.

□

Lemma 4.2. 设 Σ 是黎曼曲面, $f: \Sigma \rightarrow \mathbb{CP}^n$ 是全纯映射, $v: U \rightarrow \mathbb{C}^{n+1} \setminus \{0\}$ 是 f 在 U 上的局部提升. 设 (U, z) 和 (U, w) 是 U 上的两个全纯坐标卡, 则

$$v \wedge \frac{dv}{dw} \wedge \cdots \wedge \frac{d^k v}{dw^k} = \left(\frac{dz}{dw} \right)^{k(k+1)/2} v \wedge \frac{dv}{dz} \wedge \cdots \wedge \frac{d^k v}{dz^k}.$$

证明. 简单的计算知如下关系成立

$$\begin{aligned} \frac{dv}{dw} &= \frac{dv}{dz} \frac{dz}{dw} \\ \frac{d^2 v}{dw^2} &= \frac{d^2 v}{dz^2} \left(\frac{dz}{dw} \right)^2 + \frac{dv}{dz} \frac{d^2 z}{dw^2} \\ \frac{d^3 v}{dw^3} &= \frac{d^3 v}{dz^3} \left(\frac{dz}{dw} \right)^3 + 3 \frac{d^2 v}{dz^2} \frac{d^2 z}{dw^2} \frac{dz}{dw} + \frac{dv}{dz} \frac{d^3 z}{dw^3} \end{aligned}$$

$$\begin{aligned} & \dots\dots \\ & \frac{d^k v}{dw^k} = \frac{d^k v}{dz^k} \left(\frac{dz}{dw} \right)^k + \dots \end{aligned}$$

□

Lemma 4.3. 讨论不同的提升时 Λ 的变换.

Definition 4.4. 设 Σ 是黎曼曲面, $f_0 := f: \Sigma \rightarrow \mathbb{CP}^n$ 是线性满的全纯映射. 定义

$$f_k: \Sigma \rightarrow \mathbb{CP}^{N_k}, z \mapsto [v(z) \wedge v'(z) \wedge \dots \wedge v^{(k)}(z)], \quad 1 \leq k \leq n,$$

其中 v 是 f_0 的局部提升, $N_k = \binom{n+1}{k+1} - 1$. 注意到当 $k = n$ 时, \mathbb{CP}^{N_k} 退化为一个点.

5 全纯曲线 \rightarrow 解

Theorem 5.1 (无穷小版本的 Plücker 公式). 设 Σ 是黎曼曲面, $f_0 := f: \Sigma \rightarrow \mathbb{CP}^n$ 是线性满的全纯曲线, f_k 是 f 的第 k 条伴随曲线, 其中 $1 \leq k \leq n-1$. 设 $v: U \rightarrow \mathbb{C}^{n+1} \setminus \{0\}$ 是 f 在坐标卡 (U, z) 上的局部提升, $\Lambda_k(v)$ 如前定义, ω_k 是 \mathbb{CP}^{N_k} 上的 Fubini-Study 度量上的相伴 $(1,1)$ -形式, 则

$$f_k^*(\omega_k) = \frac{\sqrt{-1}}{2\pi} \frac{\|\Lambda_{k-1}\|^2 \|\Lambda_{k+1}\|^2}{\|\Lambda_k\|^4} dz \wedge d\bar{z}, \quad 1 \leq k \leq n-1.$$

Remark. [?] 第 269 页的公式漏了分母上的 π , 究其原因, 是他在第 269 页采用的 ω_k 的定义与他在第 30 页给出的定义相差一个 π . 一个常数无关紧要, 但必须保持一致, 我们这里采用他在第 30 页给出的定义.

证明. 暂时还没学会, 略去吧. □

由 ω_k 的定义, 我们还有

$$f_k^*(\omega_k) = \frac{\sqrt{-1}}{2\pi} \partial \bar{\partial} \log \|\Lambda_k\|^2 = \frac{\sqrt{-1}}{2\pi} \frac{\partial^2}{\partial z \partial \bar{z}} \log \|\Lambda_k\|^2 dz \wedge d\bar{z}.$$

比较系数, 有

$$\frac{\partial^2}{\partial z \partial \bar{z}} \log \|\Lambda_k\|^2 = \frac{\|\Lambda_{k-1}\|^2 \|\Lambda_{k+1}\|^2}{\|\Lambda_k\|^4}, \quad 1 \leq k \leq n-1.$$

对于 $k=0$ 的情形, 直接计算有

$$\frac{\partial^2}{\partial z \partial \bar{z}} \log \|\Lambda_0\|^2 = \frac{\|\Lambda_1\|^2}{\|\Lambda_0\|^4}.$$

选取合适的提升 v 使得 $\|\Lambda_n\| = 1$. 令

$$t_i = \log \|\Lambda_{i-1}\|^2, \quad 1 \leq i \leq n,$$

容易验证

$$(t_i)_{z\bar{z}} = \exp \left(- \sum_{j=1}^n a_{ij} t_j \right),$$

其中 $A = (a_{ij})_{n \times n}$ 是 $\mathrm{SU}(n+1)$ 的 Cartan 矩阵. 作变量代换

$$u_i = - \sum_{j=1}^n a_{ij} t_j,$$

则有

$$-(u_i)_{z\bar{z}} = \sum_{j=1}^n a_{ij} e^{u_j}.$$

这说明

$$u_i = \log \frac{\|\Lambda_{i-2}\|^2 \|\Lambda_i\|^2}{\|\Lambda_{i-1}\|^4}, \quad 1 \leq i \leq n$$

是 $\mathrm{SU}(n+1)$ -Toda 的一组解, 其中为了写成一个式子补充定义了 $\|\Lambda_{-1}\| \equiv 1$.

6 解 \rightarrow 全纯曲线

给定单连通区域 $\Omega \subset \mathbb{C}$ 上 $\mathrm{SU}(n+1)$ -Toda 的一组解 $\{u_i\}_{i=1}^n$, 设 $\phi: \Omega \rightarrow \mathrm{SU}(n+1)$ 是解 $\{u_i\}$ 所对应的 Toda 映射, 参见小节???. 令 $\{w_i\}_{i=0}^n$ 为满足

$$\begin{cases} \sum_{i=0}^n w_i = 0, \\ u_i = 2w_i - 2w_{i-1} \quad 1 \leq i \leq n. \end{cases}$$

的函数组. 记 $\phi \cdot (\mathrm{diag}(e^{w_i}))$ 的第 j 个列向量为 \hat{f}_{j-1} , $1 \leq j \leq n+1$.

易知 $w_i = \log \|\hat{f}_i\|$ 且 \hat{f}_i 两两垂直.

Proposition 6.1. 有如下递推关系:

$$\begin{cases} (\hat{f}_k)_z = \hat{f}_{k+1} + (\log |\hat{f}_k|^2)_z \hat{f}_k, & 0 \leq k \leq n-1; \\ (\hat{f}_n)_z = (\log |\hat{f}_n|^2)_z \hat{f}_n; \\ (\hat{f}_k)_{\bar{z}} = -|\hat{f}_k|^2 / |\hat{f}_{k-1}|^2 \cdot \hat{f}_{k-1}, & 1 \leq k \leq n; \\ (\hat{f}_0)_{\bar{z}} = 0. \end{cases}$$

证明. 暂时略去. □

设 $f_0 = \pi \circ \hat{f}_0$, 由 $(\hat{f}_0)_{\bar{z}} = 0$ 知 f_0 全纯, 下证 f_0 非退化.

Lemma 6.2.

$$\hat{f}_0 \wedge \hat{f}'_0 \wedge \cdots \wedge \hat{f}_0^{(k)} = \hat{f}_0 \wedge \hat{f}_1 \wedge \cdots \wedge \hat{f}_k.$$

证明. 由命题6.1显然. □

f_0 非退化的证明. 由引理6.2、 \hat{f}_i 两两垂直和引理4.1显然. □

7 解 \rightarrow 全纯曲线, $n = 1$

让我们以 $n = 1$ 的情形为例具体操作一下上一小节中的过程.

$n = 1$ 时, $\mathfrak{su}(2)$ -Toda 方程为关于函数 u 的方程

$$-\frac{1}{4}\Delta u = 2e^u.$$

令

$$\begin{cases} w_0 = -\frac{1}{2(1+1)} \sum^1 (1-1+1)u = -\frac{1}{4}u \\ w_1 = w_0 + \frac{1}{2}u = \frac{1}{4}u \end{cases}$$

记 $w = w_1 = -w_0$, 令

$$\mathcal{U} = \begin{pmatrix} -w_z & 0 \\ e^{2w} & w_z \end{pmatrix}, \quad \mathcal{V} = \begin{pmatrix} w_{\bar{z}} & -e^{2w} \\ 0 & -w_{\bar{z}} \end{pmatrix}$$

当 $u = -2\log(1+z\bar{z})$ 时,

$$\mathcal{U} = \begin{pmatrix} \frac{1}{2} \frac{\bar{z}}{1+z\bar{z}} & 0 \\ \frac{1}{1+z\bar{z}} & -\frac{1}{2} \frac{\bar{z}}{1+z\bar{z}} \end{pmatrix}, \quad \mathcal{V} = \begin{pmatrix} -\frac{1}{2} \frac{z}{1+z\bar{z}} & -\frac{1}{1+z\bar{z}} \\ 0 & \frac{1}{2} \frac{z}{1+z\bar{z}} \end{pmatrix}$$

令

$$\alpha = \mathcal{U}dz + \mathcal{V}d\bar{z}.$$

8 解 \rightarrow 全纯曲线 \rightarrow 解

在小小节6中, 我们从给定的解 $\{u_i\}_{i=1}^n$ 得到了一条非退化全纯曲线 f_0 . 下面说明, 对该 f_0 施以小小节 5 中的操作后得到的解恰为 $\{u_i\}$.

暂记从 f_0 得到的解为 $\{\tilde{u}_i\}_{i=1}^n$. 记 $\Lambda_k = \hat{f}_0 \wedge \cdots \wedge \hat{f}_0^{(k)}$, 由引理6.2有,

$$\|\Lambda_k\| = \|\hat{f}_0 \wedge \hat{f}_1 \wedge \cdots \wedge \hat{f}_k\| = \|\hat{f}_0\| \cdots \|\hat{f}_k\|, \quad 0 \leq k \leq n.$$

特别地, $\|\Lambda_n\| = e^{w_0 + \cdots + w_n} = 1$. 所以 \hat{f}_0 正是小小节5中提到的使 $\|\Lambda_n\| = 1$ 的合适提升. 由小小节5,

$$\tilde{u}_i = \log \frac{\|\Lambda_i\|^2 / \|\Lambda_{i-1}\|^2}{\|\Lambda_{i-1}\|^2 / \|\Lambda_{i-1}\|^2} = 2 \log \|\hat{f}_i\| - 2 \log \|\hat{f}_{i-1}\| = 2w_i - 2w_{i-1} = u_i.$$

9 全纯曲线 \rightarrow 解 \rightarrow 全纯曲线

参考资料:

- Griffiths 1974 论文

在小节5中, 我们由非退化全纯曲线 f 构造了 $SU(n+1)$ -Toda 的一组解

$$u_i = \log \frac{\|\Lambda_{i-2}\|^2 \|\Lambda_i\|^2}{\|\Lambda_{i-1}\|^4}.$$

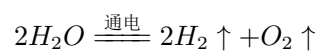
下面说明, 对 $\{u_i\}$ 施以小小节6中的操作后得到的全纯曲线 f_0 恰为 f .

这部分要等到读完该论文才能给出回答.

Chapter 7

Plücker 公式

1 Fubini-Study 度量



2 分岐

Chapter 8

Cartan's Method of Moving Frames

1 Maurer-Cartan form

2 $E(n)$

$E(n)$ 是一个李群, 从流形上来说, $E(n)$ 是 $T(n)$ 与 $O(n)$ 的直积, 从群上来说, $E(n)$ 是 $T(n)$ 与 $O(n)$ 的半直积. 若仅考虑 $E(n)$ 的李代数的线性空间结构, 这只与 $E(n)$ 的流形结构有关, 它是 \mathbb{R}^n 与 $\mathfrak{o}(n)$ 的直积, 切向量 v 被分解为 $v_1 + v_2$.

考虑 $E(n)$ 中的任意一个元素, 它可以被表达为 $(x; e_1, \dots, e_n)$. 我们有如下的投影映射

$$\begin{aligned} x: E(n) &\longrightarrow \mathbb{R}^n \\ (x; e_1, \dots, e_n) &\longmapsto x \\ e_i: E(n) &\longrightarrow \mathbb{R}^n \\ (x; e_1, \dots, e_n) &\longmapsto e_i \end{aligned}$$

将映射的符号记作 x 和 e_i 并非我的意愿, 请初学者小心谨慎.

对 x 和 e_i 取微分, 我们得到向量值微分形式 dx 和 de_i . 对于向量值微分形式, 比如对于 $f: M \rightarrow V$ 的微分 df , 我们惯常的做法是取定 V 的一组基 $\{v_1, \dots, v_l\}$, 这样一来 $df = df_i \otimes v_i$. 但我们这里的做法不同, 对于点 $p = (x; e_1, \dots, e_n) \in E(n)$,

$$dx_p: T_p E(n) \longrightarrow T_{x(p)} \mathbb{R}^n \cong \mathbb{R}^n$$

我们选取 \mathbb{R}^n 的一组基是 $\{e_1, \dots, e_n\}$. 也就是说 $dx = \omega_i \otimes e_i$, 类似地有 $de_i = \omega_{ij} \otimes e_j$.

我们力图说清楚的第一件事情是, 若记 $\omega_{E(n)} = \omega + \Omega$ 是 $E(n)$ 的 Maurer-Cartan 形式, 取单位元 $(0; E_1, \dots, E_n)$ 处的切空间的一组基为 $\{E_1, \dots, E_n\} \cup \{E_{ij}\}_{i < j}$, 其中 E_{ij} 是 (i, j) 元为 1, (j, i) 元为 -1, 其他位置为 0 的矩阵. 则 $\omega = \tilde{\omega}_i \otimes E_i$ 和 $\Omega = \tilde{\omega}_{ij} \otimes E_{ij}$. 我们力图说清楚的第一件事是,

$$\omega_i = \tilde{\omega}_i, \quad \omega_{ij} = \tilde{\omega}_{ij}.$$

我们从上面两种不同的观点来看 Maurer-Cartan 方程. Maurer-Cartan 形式的分量是处处线性无关的左不变矢量场, 它有结构方程

$$d\omega^i = -\frac{1}{2} \sum_{j,k=1}^r c_{jk}^i \omega^j \wedge \omega^k, \quad c_{jk}^i + c_{kj}^i = 0.$$

从 dx 和 de_i 的角度来看, 因为 $ddx = dde_i = 0$, 导出

$$d\omega_i = \sum_j \omega_{ij} \wedge \omega_j, \quad d\omega_{ij} = \sum_k \omega_{ik} \wedge \omega_{kj}.$$

这两组方程是等价的, 后者只不过把 $E(n)$ 的结构常数算出来了罢了. STERNBERG 的书从向量场的角度直接计算了 $E(n)$ 的结构常数.

Chapter 9

春晖论文

Definition 0.1. (K, ∂) 是微分域, 指

(1) K 是域

(2) $\partial: K \rightarrow K$ 满足

$$(i) \partial(x+y) = \partial x + \partial y$$

$$(ii) \partial(xy) = x\partial y + y\partial x$$

Notation 0.2. $C_K = \{x \in K \mid \partial x = 0\}$.

Lemma 0.3. C_K 是子域, 称作常数域.

Lemma 0.4. 设 (K, ∂) 是微分域, $L = \sum_{i=0}^n a_i \partial^i$, 其中 $a_i \in K, Lx = 0$ 是 K 上一个 n 阶 ODE, 设 V 是 $Lx = 0$ 的解空间, 则 V 是 C_K 系数线性空间, 且

$$\dim_{C_K} V \leq n.$$

Lemma 0.5. $x_1, \dots, x_n \in K, x_1, \dots, x_n C_K$ 线性相关 \iff

$$W(x_1, \dots, x_n) = \det(x_i^{(j)})_{1 \leq i \leq n, 0 \leq j \leq n-1} = 0$$

设 R 是 Ω 上全纯函数和反全纯函数在普通加法和乘法下构成的环. R 是实解析复值函数环的含么子环. 只需说明实解析复值函数环是整环.

证明. 连通区域 Ω 上实解析函数的零点集零测. □

(K, ∂_z) 是微分域, 是 K 上的 ODE, $C_K = \{\text{反全纯函数}\}$

V 是 (3) 在 K 上的解空间, $H \subset V$ 是全纯函数解全体.

V 是 C_K 线性空间, $\dim_{C_K} V \leq n+1, H$ 是 \mathbb{C} 线性空间.

Lemma 0.6. $\dim_{\mathbb{C}} H \leq n+1$

证明. 设 $f_1, \dots, f_{n+2} \in H$ 是 \mathbb{C} -线性无关的.

$$W(f_1, \dots, f_{n+2}) \neq 0$$

由此前 lemma 得 f_1, \dots, f_{n+2} 是 C_K 线性无关. □

Theorem 0.7. $H = \text{span}_{\mathbb{C}} \{v_0^n, v_0 v_1, \dots, v_1^n\}$

证明. 对 n 归纳

v_0, v_1 是 $P^2(\|v\|^{06}f) = 0$ 的解.

□

0.1

设 $\Omega \subset \mathbb{C}$ 单连通区域, $\{u_i\}_{i=1}^n$ 为 Ω 上 $\text{SU}(n+1)$ -Toda 系统的解.

取 \hat{f}_0 为 $\{u_i\}$ 对应的一条全纯曲线 (可保证 totally unramified) $f_0: \Omega \rightarrow \mathbb{P}^n$ 的正规化 (即各阶导的 wedge 为 $e_0 \wedge \dots \wedge e_n$) 提升.

令 $K = \text{Frac} \{ \Omega \text{ 上的复值实解析函数} \}$, $(K, \partial = \frac{\partial}{\partial z})$ 为微分域.

问题: 由 Toda map 给出 (K, ∂) 上的一个 $(n+1)$ 阶线性 ODE, $Lx = 0$, 其中

$$L = \sum_{j=0}^{n+1} a_j \partial^j, a_j \in K$$

使得 \hat{f}_0 的各分量构成 $\{x \in \mathcal{O}(\Omega) \mid Lx = 0\}$ 的基础解系.

Chapter 10

各次报告

1 12 月 11 日陆斯成报告

Tahar's Geometric Decomposition

My Motivation

Geometry object \implies irreducible standard pieces

triangulation

Recall: Delaunay decomposition, 以所有锥奇点为顶点 \implies periodic coordinates

Natural Questions

Basic setting, Bigons

Definition 1.1. *Spherical surface cpt Riemann surface, $K \equiv 1$, $n \geq 1$ conical points
geodesic boundary: Each component has ≥ 1 conical points*